

УДК 537.226.4

© 1991

**ПОЛУЧЕНИЕ И ИССЛЕДОВАНИЕ
СТЕКЛОКЕРАМИКИ ГЕРМАНАТА СВИНЦА
С ОРИЕНТИРОВАННЫМИ ПОВЕРХНОСТНЫМИ СЛОЯМИ**

B. B. Михневич, B. H. Шут, C. P. Сырцов

Изучено влияние режимов термообработки на степень ориентации кристаллитов $Pb_5Ge_3O_{11}$ стехиометрического состава. Показано, что максимальное значение коэффициента ориентации кристаллитов $f_c \approx 0.8$ имеют образцы, полученные при температурах кристаллизации $T_0 = 675 \div 695^\circ\text{C}$ и времени термообработки $t = 4 \div 6$ ч. Толщина ориентированных слоев зависит от времени кристаллизации и составляет 60—140 мкм. Анизотропный рост кристаллитов объясняется влиянием деформационных полей, связанных с возникновением градиента концентрации свинца по толщине образца при термической обработке материала. Существенное влияние на величину f_c оказывает качество обработки поверхности образцов. Проведено исследование температурных зависимостей диэлектрической проницаемости, пироэлектрического коэффициента и спонтанной поляризации изотропной и ориентированной стеклокерамики. Пироэффективент ориентированной стеклокерамики при комнатной температуре составляет $\sim 70\%$ от величин для монокристалла.

Стеклокерамические материалы с ориентированной текстурой являются весьма перспективными для создания активных элементов пиро- и пьезодатчиков. Незначительно уступая по чувствительности, они являются более технологичными, дешевыми и эксплуатационно-стойкими, чем обычно применяемые монокристаллы [1]. В связи с этим важной задачей является разработка эффективных методов получения ориентированных структур сегнетоэлектрических стеклокерамических материалов с высокими электрофизическими характеристиками.

Настоящая работа посвящена исследованию влияния режимов термообработки на степень ориентации кристаллитов $Pb_5Ge_3O_{11}$ стехиометрического состава и изучению его электрофизических характеристик.

Германат свинца имеет достаточно высокое значение пироэлектрического коэффициента $\gamma \approx 1 \cdot 10^{-8}$ Кл/см²·К и относительно низкую величину диэлектрической проницаемости $\epsilon \approx 40$. Кроме того, данное соединение в своем составе содержит стеклообразующий оксид GeO_2 , что позволяет получать по стеклокерамической технологии бесспористые, прочные образцы $Pb_5Ge_3O_{11}$ достаточно большой площади без введения дополнительных стеклообразующих оксидов. В [2] сообщалось о возможности получения ориентированных слоев стеклокерамики германата свинца путем введения в шихту избыточного количества оксида свинца PbO . Однако отклонение от стехиометрического состава при этом приводит к образованию других фаз, которые ослабляют сегнетоэлектрические свойства данной системы.

1. Методика эксперимента

Стекла $5PbO \cdot 3GeO_2$ получали в соответствии с методикой, описанной в [3]. Перед кристаллизацией поверхности стекол полировались. Кристаллизацию осуществляли в изотермических условиях с точностью поддержания температуры $\pm 3^\circ\text{C}$. Степень ориентации кристаллитов опре-

делялась по данным рентгеноструктурного анализа, проводимого на дифрактометре ДРОН-2, в соответствии с выражением [4]

$$f_c = (P_c - P_{c0}) / (1 - P_{c0}),$$

где P_c и P_{c0} — $\Sigma I(00l) / \Sigma I(hkl)$ соответственно стеклокерамики и пирошка германата свинца в области дифракционных углов $2\theta = 20^\circ - 35^\circ$.

Для снятия температурных зависимостей диэлектрических параметров на частоте 1 кГц использовался измеритель L , C , R цифровой Е7-8. Исследования выполнялись на образцах с серебряными электродами. Пироэлектрические измерения проводились динамическим методом на частоте 20 Гц. В качестве эталонного пироприемника использовались пластинки монокристаллов LiTaO_3 с известными свойствами. Перед проведением измерений пироэлектрического коэффициента стеклокерамические образцы поляризовались при следующих режимах: материал нагревался до 200°C и прикладывалось постоянное электрическое поле напряженностью $E=3 \text{ кВ/см}$, затем температура медленно понижалась, а электрическое поле увеличивалось до $18-20 \text{ кВ/см}$ при комнатной температуре.

2. Результаты и их обсуждение

На рис. 1 представлена зависимость коэффициента ориентации кристаллитов f_c от температуры термообработки T_0 для образцов, выдержанных при данной температуре в течение 4 ч. Видно, что стеклокерамика, полученная при низких температурах отжига, является практически изотропной, т. е. отсутствуют направления, в которых ориентация кристаллитов предпочтительна. С ростом T_0 монотонно увеличивается число зерен, полярная ось с которых направлена перпендикулярно поверхности образца. Фактор f_c достигает максимальной величины ~ 0.8 при температурах кристаллизации $675-695^\circ\text{C}$. При температурах термообработки, близких к температуре плавления вещества (740°C), степень ориентации снижается до ~ 0.6 .

Приведенные нами рентгеноструктурные исследования указывают на изотропный характер зародышеобразования кристаллитов в стеклофазе. Учитывая, что в рассматриваемом диапазоне температур термообработки

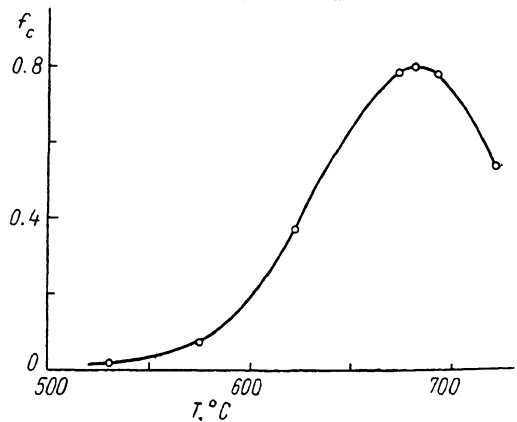


Рис. 1. Зависимость степени ориентации кристаллитов от температуры термообработки (при $t=4$ ч).

наблюдается монотонный рост зерен с повышением T_0 [3], можно предположить, что увеличение f_c связано с преимущественным ростом кристаллитов с полярной осью c , перпендикулярной поверхности образца, за счет кристаллитов другой ориентации. Причина такого анизотропного роста, на наш взгляд, заключается в следующем. Практически для всех свинецсодержащих соединений, приготовление которых включает высокотемпературные циклы, характерно явление сегрегации свинца. Механизм этого явления хорошо объясняется на основе междоузельных перемещений ионов малого радиуса (в нашем случае Pb) в упругом квазинеподвижном каркасе [5]. Согласно [6, 7], в германате свинца обогащение поверхности свинцом начинается уже при $T > 150^\circ\text{C}$. При $T > 600^\circ\text{C}$ происходит изменение состава по объему образца. Аналогичные явления имеют место в материалах, полученных по стеклокерамической технологии. Данные рентгеноструктурного анализа подтверждают образование обогащенных

свинцом фаз Pb_3GeO_5 и PbO в образцах с высоким значением f_c . На рентгенограммах регистрируются пики, имеющие максимальную интенсивность для данных соединений. Изменение состава по толщине образца является причиной образования деформационных полей, направленных по градиенту концентрации Pb , т. е. по нормали к поверхности. Анизо-

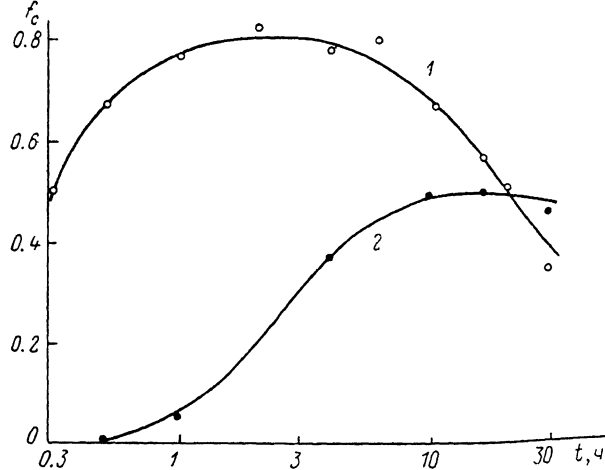


Рис. 2. Зависимость степени ориентации кристаллитов от времени термообработки при $T_0 = 690$ (1) и 630 °C (2).

тропия упругих свойств $Pb_5Ge_3O_{11}$ по осям a и c приводит к тому, что кристаллиты с различной ориентацией имеют разную свободную энергию. При этом в движущей силе кристаллизации существенную роль начинает играть ориентационный член, обусловленный различием ориентаций взаимодействующих кристаллитов [8]. В процессе роста зерен система стремится перейти в низшее энергетическое состояние с преимуществен-

ной ориентацией осей с кристаллитами перпендикулярно поверхности. Учитывая, что в керамических образцах германата свинца, полученных методом горячего прессования, наблюдается преимущественная ориентация кристаллитов по направлению приложению внешнего давления [9], есть основание считать, что в рассматриваемой системе реализуется мор-

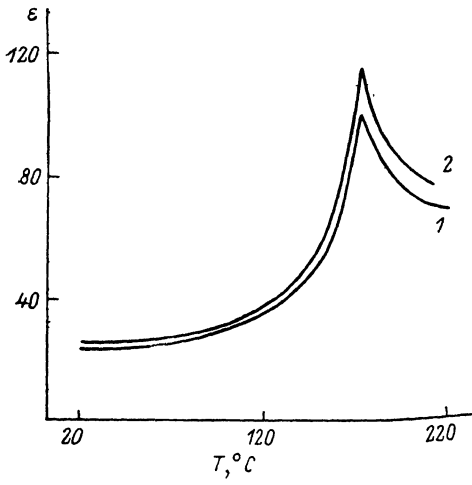


Рис. 3. Температурные зависимости диэлектрической проницаемости изотропной (1) и ориентированной (2) стеклокерамики.

фицированный вариант деформационного отжига, когда роль внешних воздействий играют внутренние напряжения, возникающие вследствие сегрегации свинца. Действительно, на анизотропный рост зерен могут оказывать влияние и электрические поля, вызванные образованием заряженных дефектов в процессе сегрегации Pb [10].

Зависимость степени ориентации кристаллитов от времени термообработки при фиксированных температурах представлена на рис. 2. При температурах, соответствующих интенсивному процессу роста зерен (690 °C), f_c достигает максимального значения достаточно быстро (~ 1 ч).

Высокое значение коэффициента $f_c \sim 0.8$ в данном случае обусловлено интенсивностью процесса сегрегации свинца [7] и, следовательно, возникновением значительных деформационных полей. С увеличением продолжительности процесса кристаллизации массопотери Pb с поверхности и его обратная диффузия приводят к уменьшению градиента концентрации свинца и частичному снятию внутренних напряжений в системе,

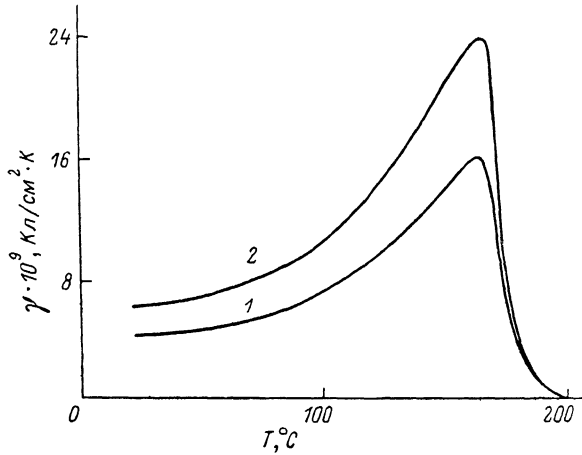


Рис. 4. Температурные зависимости пироэлектрического коэффициента изотропной (1) и ориентированной (2) стеклокерамики.

что и является причиной снижения степени ориентации. При $T_0 = 630$ °С более низкая скорость роста зерен и менее интенсивный процесс сегрегации Pb приводят к более плавному повышению степени ориентации кристаллитов со времени и уменьшению максимальной величины $f_c \sim 0.5$.

Следует подчеркнуть, что приведенные выше закономерности справедливы для образцов $Pb_5Ge_3O_{11}$, поверхность которых перед кристаллизацией тщательно полировалась.

Если же пластиинки имели шероховатую поверхность, то существенной ориентации при всех режимах термообработки достичь не удавалось.

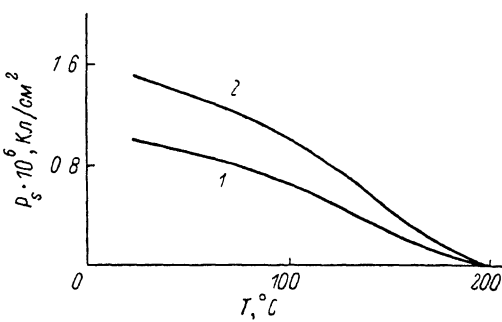


Рис. 5. Температурные зависимости спонтанной поляризации изотропной (1) и ориентированной (2) стеклокерамики.

Послойная соплифовка поверхностных слоев стеклокерамики дает возможность оценить толщину ориентированных слоев по рентгеноструктурному анализу. Она увеличивается со временем кристаллизации и составляет 30–70 мкм для образцов толщиной $d = 400\text{--}500$ мкм. С уменьшением d имеется тенденция к уменьшению толщины ориентированных слоев.

На рис. 3–5 представлены температурные зависимости электрофизических характеристик изотропной стеклокерамики и стеклокерамики с ориентированными слоями ($f_c = 0.65$, $t = 10$ ч, $T_0 = 690$ °С, $d = 450$ мкм). Фазовый переход, определяемый по максимуму величины диэлектрической проницаемости ϵ , наблюдается при $T_c = 175$ °С (рис. 3), что находится в хорошем соответствии с данными для монокристаллов. При комнатной температуре ϵ_{op} ориентированной стеклокерамики незначительно превышает соответствующую величину для изотропной ϵ_{is} . В точке Кюри это различие выражено более ярко.

Отношение пироэлектрических коэффициентов $\gamma_{\text{оп}}/\gamma_{\text{из}}$ ≈ 1.35 (рис. 4). Повышенное значение γ в керамике с ориентированными слоями связано с тем, что на исследуемых частотах модуляции длина тепловой волны ($\lambda_t \sim 100$ мкм) соизмерима с толщиной ориентированного приповерхностного слоя, дающего наибольший вклад в пироотклик. Отметим, что пирокоэффициент достигает максимальной величины при более низких температурах, чем T_c , и спадает до нуля лишь при $T \sim 200$ °С. Такое поведение зависимости $\gamma = f(T)$ характерно для систем с размытым фазовым переходом и обусловлено локальной флуктуацией состава и наличием неоднородных напряжений в отдельных кристаллитах [8].

Непосредственное измерение величины спонтанной поляризации P_s исследуемых образцов по петлям гистерезиса затруднено ввиду сегнетоустойчивости системы. Не удавалось выйти на насыщение петель при комнатной температуре приложении напряжений вплоть до пробоя материала. Температурные зависимости $P_s = f(T)$ (рис. 5) построены по данным исследования пироэлектрического коэффициента. Известно [11], что для одноосных керамических сегнетоэлектриков при условии произвольной ориентации отдельных зерен максимальное значение спонтанной поляризации составляет 50 % от соответствующей величины монокристалла. В нашем случае даже для стеклокерамики с ориентированными слоями получились заниженные значения P_s . Это связано с наличием межкристаллитных прослоек, оказывающих влияние на величину спонтанной поляризации, а также с тем, что при используемом методе расчета P_s учитывается лишь вклад быстрых процессов поляризации, определяющих величину динамического пироотклика [12].

Заметим, что приведенные результаты получены на образцах толщиной 400–500 мкм, в то время как толщина ориентированных поверхностных слоев составляет 60–140 мкм. Следует ожидать, что дальнейшее совершенствование технологии получения структур, ориентированных по всему объему, позволит максимально приблизить свойства стеклокерамики к свойствам монокристаллов $\text{Pb}_5\text{Ge}_3\text{O}_{11}$.

Авторы выражают благодарность О. Ю. Малеваной за помощь при проведении эксперимента.

Список литературы

- [1] Рез И. С. Обзор возможных новых применений пьезокерамики и сегнетоэлектрических явлений в народном хозяйстве. Физика диэлектриков и полупроводников. Сб. научн. трудов. Волгоград, 1986.
- [2] Shimanuki S., Hashimoto S., Inomata K. // Ferroelectrics. 1983. V. 51. P. 53–58.
- [3] Малеваная О. Ю., Михневич В. В., Сырцов С. Р., Шут В. Н. // ФТТ. 1990. Т. 32. № 2. С. 422–427.
- [4] Lotgerling F. K. // J. Inorg. Nucl. Chem. 1959. V. 9. P. 113–123.
- [5] Томашпольский Ю. Я., Либин Е. Н., Колотыркин И. Я., Петрова О. В. Сегнето- и пьезоэлектрики в ускорении научно-технического прогресса. 1984. С. 26–30.
- [6] Колотыркин И. Я., Петрова О. В., Томашпольский Ю. Я. // Изв. АН ССРР, неорг. матер. 1985. Т. 21. № 11. С. 1968–1970.
- [7] Томашпольский Ю. Я., Пентегова М. В. и др. // Электронная техника, сер. 6. Материалы. 1976. № 2. С. 71–74.
- [8] Лодиз Р., Паркер Р. Рост монокристаллов. М.: Мир, 1974. 540 с.
- [9] Nagata K., Uchida Y., Okazaki K., Shmitt H. // J. Appl. Phys. 1985. V. 24. Suppl. 24-2. P. 744–746.
- [10] Gardopee G. J., Newnham R. E., Bhalla A. S. // Ferroelectrics. 1981. V. 33. P. 155–163.
- [11] Redin R., Marks G., Antoniak C. // J. Appl. Phys. 1963. V. 34. N 3. P. 600–610.
- [12] Косоротов В. Ф., Кременчугский Л. С., Самойлов В. Б., Щедрина Л. В. Пироэлектрический эффект и его практические применения. Киев: Наукова думка, 1989. 224 с.